

взаимодействия линии уровня вычислялись в соответствии с (1.25). Единственным материалом для сравнения с результатами проведенных расчетов являются численные расчеты случая (б), выполненные в работе [3]. Сравнение показывает удовлетворительное согласие результатов нелинейной теории и численных расчетов ($E = 0,175$, фиг. 3 работы [3]). Вне окрестности волновой границы области возмущений нелинейные решения согласуются с решениями линейной теории (1.12) и для $E < 0,04$ переходят в решения (1.12) практически непрерывным образом.

Поступила 26 VI 1975

ЛИТЕРАТУРА

1. Sakurai A. The flow due to impulsive motion of a wedge and its similarity to the diffraction of shock wave.—«J. Phys. Soc. Japan», 1955, vol. 10, N 3.
2. Strang W. J. A physical theory of supersonic aerofoils in unsteady flow.—«Proc. Roy. Soc. L.», 1948, vol. A195, N 1041.
3. Тугазаков Р. Я. Нестационарная задача о внезапном движении клина и конуса с до- и сверхзвуковой скоростями.—«Учен. зап. ЦАГИ», 1973, т. 4, вып. 1.
4. Липман Г. В., Рошко А. Элементы газовой динамики. М., ИЛ, 1960.
5. Lighthill M. J. The shock strength in supersonic «conical fields».—«Phil. Mag.», 1949, vol. 40, ser. 7, N 311.
6. De Mestre N. J. Non-linear weak shock diffraction.—«J. Austral. Math. Soc.», 1968, vol. 8, N 4.
7. Могилевич Л. И., Шиндяпин Г. П. О нелинейной дифракции слабых ударных волн.—ПММ, 1971, т. 35, вып. 3.
8. Шиндяпин Г. П. Нерегулярное взаимодействие слабых ударных волн разной интенсивности.—ПММ, 1974, т. 38, вып. 1.
9. Булах Б. М. Нелинейные конические течения газа. М., «Наука», 1970.
10. Ван-Дайк М. Методы возмущений в механике жидкости. М., «Мир», 1967.
11. Христианович С. А. Ударная волна на значительном расстоянии от места взрыва.—ПММ, 1956, т. 20, вып. 5.
12. Рыжов О. С., Христианович С. А. О нелинейном отражении слабых ударных волн.—ПММ, 1958, т. 22, вып. 5.
13. Багдоев А. Г., Гургенян А. А. Приближенное решение ряда нелинейных задач определения ударных волн в сжимаемой жидкости.—«Изв. АН Арм. ССР. Сер. Механика», 1968, № 1.
14. Kuo Y. H. A similarity rule for the interaction between a conical field and a plane shock.—«J. Aero. Sci.», 1955, vol. 22, N 7.
15. Zahalak G. I., Myers M. K. Conical flows near singular rays.—«J. Fluid Mech.», 1974, vol. 63, pt. 3.

УДК 532.517.2

АВТОМОДЕЛЬНОЕ ДВИЖЕНИЕ ВЯЗКОГО ГАЗА В КАНАЛЕ

M. A. Гольдштик

(Новосибирск)

Результаты, приведенные в обзорной монографии [1], относятся в основном к капельным жидкостям, для которых влияние термического режима на течение связано с зависимостью вязкости от температуры.

В данной работе рассмотрено автомодельное течение вязкого газа в канале, температура стенки которого возрастает по линейному закону. Проанализировано влияние чисел Рейнольдса и Прандтля на теплообмен и гидродинамику потока.

1. Рассмотрим идеализированный случай, когда кинематическая вязкость ν и коэффициент температуропроводности κ считаются постоянными, а плотность ρ зависит от температуры T по закону

$$\rho = \rho_0 T_0 / T,$$

введенному Буссинеском в качестве приближенной аппроксимации уравнения $p = \rho R T$ для случая малых значений $\Delta p/p$.

В этих предположениях задача о стационарном течении вязкого газа в плоском канале с температурой стенки, возрастающей по линейному закону $T_w = T_0 x$, допускает автомодельное решение вида

$$(1.1) \quad v_x = v_0 u(y)x; \quad v_y = 0; \quad T = T_0 \theta(y)x.$$

Для такого решения уравнения движения и энергии можно записать в форме

$$v_x \partial v_x / \partial x = -(1/\rho) \partial p / \partial x + v d^2 v_x / \partial y^2;$$

$$(1.2) \quad v_x \partial T / \partial x = \kappa \partial^2 T / \partial y^2,$$

где x, y — декартовы координаты; v_x, v_y — продольная и поперечная компоненты скорости газа; p — давление; ρ_0, T_0 — некоторые масштабные значения плотности и температуры; v_0 — средняя расходная скорость газа, предполагаемая заданной

$$(1.3) \quad v_0 = \frac{1}{\rho_0} \int_0^1 \rho v_x dy.$$

За масштаб длины принимается полуширина канала h .

Подставляя соотношения (1.1) в уравнения (1.2), получаем

$$(1.4) \quad u'' = \text{Re} (u^2 - \chi a^2 \theta);$$

$$(1.5) \quad \theta'' = \text{Re} \sigma u \theta,$$

где штрихом обозначено дифференцирование по y ; $\text{Re} = v_0 h / v$ — число Рейнольдса; $\sigma = v / \kappa$ — число Прандтля; $a^2 = (h / \rho_0 v_0^2) |dp/dx|$ — коэффициент сопротивления; $\chi = \pm 1$. В выражении (1.4) значению $\chi = +1$ соответствует движение газа в положительном направлении, когда происходит его нагрев. При движении в обратном направлении знак градиента давления определяется двумя противоположными факторами: трением потока о стенки и замедлением газа в направлении его движения, так что возможен случай, соответствующий значению $\chi = -1$ (трение преобладает).

Полагая течение симметричным относительно оси канала ($y = 0$), можно поставить следующие граничные условия:

$$u'(0) = \theta'(0) = 0; \quad u(1) = 0; \quad \theta(1) = 1.$$

Кроме того, из (1.3) следует соотношение

$$(1.6) \quad \int_0^1 \frac{u}{\theta} dy = 1,$$

которое служит для определения неизвестного параметра a , входящего в (1.4).

Для решения поставленной нелинейной краевой задачи введем замену переменных

$$(1.7) \quad u = aw, \quad y = z / \sqrt{a \text{Re}},$$

которая приводит систему (1.4), (1.5) к виду

$$(1.8) \quad w'' = w^2 - \chi\theta;$$

$$(1.9) \quad \theta'' = \sigma w\theta.$$

Для решения полученной системы удобно рассмотреть вспомогательную задачу Коши

$$(1.10) \quad w(0) = w_0; \quad w'(0) = 0; \quad \theta(0) = \theta_0; \quad \theta'(0) = 0.$$

В соотношениях (1.8)–(1.10) штрихом обозначено дифференцирование по переменной z .

Поставленная задача содержит два свободных параметра w_0 и θ_0 , для определения которых можно использовать следующие соображения. Пусть величина θ_0 зафиксирована. Тогда, как показано ниже, при некоторых значениях w_0 найдется точка z_0 , где $w(z_0) = 0$. Если за счет варьирования параметра w_0 добиться выполнения соотношения $\theta(1) = 1$, то будут удовлетворены исходные краевые условия при $y = 1$, для чего, согласно (1.7), следует положить

$$(1.11) \quad z_0 = \sqrt{a \operatorname{Re}}.$$

Соотношение (1.6) в новых переменных имеет вид

$$(1.12) \quad \frac{\tilde{w}}{\sqrt{a \operatorname{Re}}} \int_0^{z_0} \frac{\tilde{\omega}}{\theta} dz = 1.$$

С помощью формул (1.11), (1.12) определяются величины a и Re

$$(1.13) \quad a = z_0 \left(\int_0^{z_0} \frac{w}{\theta} dz \right)^{-1}; \quad \operatorname{Re} = z_0 \int_0^{z_0} \frac{\omega}{\theta} dz.$$

Величину θ_0 при данном σ можно считать основным параметром задачи, каждому значению которого соответствует одно или несколько значений Re . Коэффициент трения c_f и критерий Нуссельта Nu можно определить соотношениями

$$(1.14) \quad \begin{aligned} c_f &= -(\nu/v_0^2) \partial v_x / \partial y|_{y=1} = -a \sqrt{(a/\operatorname{Re})} w'(z_0) = cx; \\ \text{Nu} &= \alpha h / \lambda = [1/(T_w - T_0)] \partial T / \partial y|_{y=1} = [1/(1 - \theta_0)] d\theta / dy|_{y=1} = \\ &= z_0 \theta'(z_0) / (1 - \theta_0). \end{aligned}$$

2. В случае $\sigma = 0$ постановка задачи должна быть несколько изменена, поскольку, согласно (1.9), $\theta = 1$, и удовлетворять условию $\theta(1) = 1$ путем подбора w_0 не нужно. В данном случае решению подлежит задача

$$(2.1) \quad w'' = w^2 - \chi; \quad w(0) = w_0; \quad w'(0) = 0.$$

Соотношения (1.13) при этом сохраняют силу, так что связь между w_0 и Re может быть установлена непосредственно.

Умножение (2.1) на w' и интегрирование дает соотношение

$$(2.2) \quad w'^2 = \frac{2}{3} (w^3 - w_0^3) - 2\chi(w - w_0) \equiv F(w).$$

Здесь учтено граничное условие $w'(0) = 0$. Исходя из (2.2), получим $w' = \sqrt{F(w)}$, откуда

$$(2.3) \quad z = \pm \int_{w_0}^w \frac{dw}{\sqrt{F(w)}}.$$

Следовательно, для величины z_0 , определяемой условием $w(z_0) = 0$, можно записать

$$(2.4) \quad z_0 = \pm \int_{w_0}^0 \frac{dw}{\sqrt{F(w)}}.$$

В выражениях (2.3), (2.4) знак должен выбираться из условия положительности z_0 , так что этот знак противоположен знаку w_0 . В случае $\chi = -1$ задача (2.1) имеет только нарастающее решение, обладающее положительной кривизной, поэтому исходной краевой задаче могут соответствовать лишь отрицательные значения w_0 . Значению корня в (2.3) следует приписать знак минус. Функция $w(z)$ имеет единственный корень z_0 , и всюду на интервале $0 \leq z \leq z_0$ $w(z) \leq 0$, так что, согласно (1.13), (1.7), (1.1) $a < 0$; $\text{Re } < 0$; $u \geq 0$; $v_0 < 0$ и $v_x \leq 0$, что характеризует движение в отрицательном направлении.

После замены переменных $w = w_0 t$ выражение (2.4) может быть записано в виде

$$(2.5) \quad z_0 = \sqrt{-w_0} \int_0^1 \frac{dt}{\Delta}; \quad \Delta = \sqrt{2/3 w_0^2 (1-t^3) - 2\chi(1-t)}.$$

При $|w_0| \ll 1$, согласно (2.5), $z_0 \sim (-w_0)^{1/2}$, а при $|w_0| \gg 1$ $z_0 \sim (-w_0)^{-1/2}$, поэтому при некотором w_0 существует максимальное значение z_0 . Используя (1.13), (2.5), можно записать

$$\text{Re} = -w_0^2 \int_0^1 \frac{dt}{\Delta} \int_0^1 \frac{tdt}{\Lambda}.$$

Отсюда видно, что при $|w_0| \ll 1$ $\text{Re} \sim -w_0^2$, а при $|w_0| \rightarrow \infty$ Re стремится к некоторому конечному числу, равному, согласно расчетам, $-1,814$. Следовательно, при положительном градиенте давления обратное движение с большими числами Рейнольдса невозможно.

В случае $\chi = +1$ функцию $F(w)$, определенную выражением (2.2), удобно представить в виде

$$(2.6) \quad F(w) = 2/3(w - w_0)(w - w_1)(w - w_2),$$

где

$$w_{1,2} = 1/2 \left(\pm \sqrt{12 - 3w_0^2} - w_0 \right).$$

Если $w(z)$ есть решение исходной краевой задачи, то $w(z_0) = 0$, так что $F(0) = 2w_0(1 - 1/3w_0^2)$. Поскольку по определению $F(w) \geq 0$, допустимы лишь значения w_0 , удовлетворяющие неравенствам

$$0 \leq w_0 \leq \sqrt{3} \text{ или } w_0 \leq -\sqrt{3}.$$

На интервалах $0 \leq w_0 \leq \sqrt{3}$ и $-2 \leq w_0 \leq -\sqrt{3}$ корни w_1 и w_2 вещественны, при $w_0 < -2$ — комплексны. Функция (2.6) является кубической параболой, причем $F \rightarrow \pm\infty$, когда $w \rightarrow \pm\infty$. Если $w_0 < -2$, то $F(w)$ имеет единственный вещественный корень w_0 и $w(z)$ монотонно возрастает до бесконечности. Это следует из (2.1), (2.2). При $w_0 \rightarrow -\infty$ $\text{Re} \rightarrow -1,814$, как и для $\chi = -1$. В случае $w_0 = -2$ $w(z)$, монотонно возрастая, асимптотически стремится к значению $w_1 = w_2 = 1$. Если $-2 < w_0 \leq -3$, то $w(z)$ возрастает, пока функция $F(z)$ не достигает следующего нуля $0 \leq w_1 < 1$, где w имеет максимум. Дальше с ростом z $w(z)$ убывает, что соответствует движению вспять по фазовой траектории на плоскости (F, w) . В этом случае функция w периодическая, колеблющаяся между значениями w_0 и w_1 с периодом

$$(2.7) \quad \xi = \sqrt{\frac{3}{2}} \int_{w_0}^{w_1} \frac{dw}{\sqrt{(w-w_0)(w-w_1)(w-w_2)}}.$$

При $w_0 = -\sqrt{3}$ $w_1 = 0$, так что $w(z)$ достигает максимума при $w = 0$ и колеблется между значениями $-\sqrt{3}$ и 0 с периодом $\xi = (3/4)^{1/4}(2\sqrt{2}\pi)^{-1} \times \Gamma^2(1/4) \simeq 2,45$, которому соответствует число Рейнольдса $\text{Re} = -3/2\pi = -4,71$. В интервале $-\sqrt{3} < w_0 < 0$ функция $w(z)$ является периодической и отрицательной, так что исходная краевая задача, как уже отмечалось, решения не имеет, т. е. обратное движение газа не может осуществляться при достаточно больших по модулю числах Re .

При $0 < w_0 < 1$ функция $w(z)$ также периодическая с периодом (2.7). Она может быть получена сдвигом на половину периода решений, соответствующих значениям $-2 < w_0 \leq -\sqrt{3}$. Поэтому минимумы функции $w(z)$ лежат в интервале $(-2; -\sqrt{3})$, значит, для каждого w_0 из рассматриваемого интервала существует конечное значение z_0 .

Для периодических решений под величиной z_0 можно понимать первый корень функции $w(z)$. Существуют автомодельные периодические решения, определяемые входным знакопеременным распределением скорости, но такие здесь не рассматриваются.

В случае $w_0 = 0$ уравнение (2.2) однородно и поэтому $w(z) \equiv 0$. Если считать, что при малых w_0 всюду на интервале $(0, z_0)$ $w(z)$ мало, то, согласно (2.1), следует положить $w'' = -1$;

$$w = w_0 = 1/2z^2; \quad z_0 = \sqrt{2w_0}; \quad \text{Re} = 4/3w_0^2; \quad a = 3/2w_0.$$

Отсюда, согласно (1.7), получается парабола Пуазейля

$$u = 3/2(1 - y^2),$$

причем коэффициенты a и c определяются соотношениями

$$a = \sqrt{3/\text{Re}}, \quad c = a^2 = 3/\text{Re}.$$

В другом предельном случае при $w_0 = 1$ $w_1 = 1$; $w_2 = -2$;

$$\xi = \infty; \quad F(w) = 2/3(1 - w)^2(2 + w);$$

$$w' = -(1 - w)\sqrt{2/3(2 + w)}; \quad w(0) = 1.$$

Последнее уравнение имеет тривиальное решение $w = 1$, с помощью которого нельзя построить решения исходной краевой задачи. Поэтому положим $w_0 = 1 - \varepsilon$, где $\varepsilon \ll 1$.

Можно видеть, что $F(0) = 4/3(1 - 1/2\varepsilon^2 - 1/2\varepsilon^3)$. Следовательно, с точностью до линейных по ε членов

$$F(w) = 2/3(1 - w)^2(2 + w).$$

Подстановка этого выражения в (2.2) и интегрирование при условии $w(0) = 1 - \varepsilon$ дает

$$z = \frac{1}{\sqrt{2}} \ln \frac{\sqrt{3} + \sqrt{2+w}}{\sqrt{3} - \sqrt{2+w}} \frac{1 - \sqrt{1 - 1/3\varepsilon}}{1 + \sqrt{1 - 1/3\varepsilon}}.$$

Если положить $w = 0$, то при удержании членов порядка ε

$$z_0 \simeq (1/\sqrt{2}) \ln (1,21/\varepsilon).$$

Далее можно найти, что

$$\int_0^{z_0} w dz = \int_0^{w_0} z' w dw = \int_0^{w_0} \frac{wdw}{\sqrt{F(w)}} \simeq z_0 - 0,777.$$

С учетом этого результата, согласно (1.13),

$$a = 1 + 0,778/z_0; \text{ Re} = z_0(z_0 - 0,777).$$

Из последней формулы видно, что малым ε отвечают большие значения Re . Асимптотическая зависимость $\varepsilon(\text{Re})$ имеет вид

$$\varepsilon = 0,697 \exp(-\sqrt{2} \text{Re}).$$

С помощью этого соотношения можно получить

$$a \simeq 1; z_0 \simeq \sqrt{\text{Re}}; w'(z_0) \simeq -2\sqrt{3}; c \simeq 2/\sqrt{3 \text{Re}}.$$

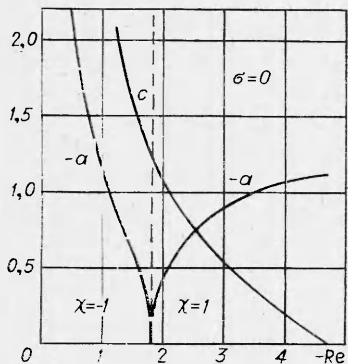
Эти результаты позволяют заключить, что в пристенной зоне при больших числах Рейнольдса найденное решение имеет характер ламинарного пограничного слоя; в ядре потока скорость практически постоянна. Эта перестройка профиля по сравнению с изотермическим случаем происходит при постоянной по сечению температуре и связана лишь с осевым ускорением потока, которое приводит не только к возрастанию полного сопротивления a^2 , но и существенно увеличивает сопротивление трения по сравнению с течением Пуазейля, для которого $c = 3/\text{Re}$.

В общем случае решение уравнения (2.2) выражается в виде эллиптического интеграла

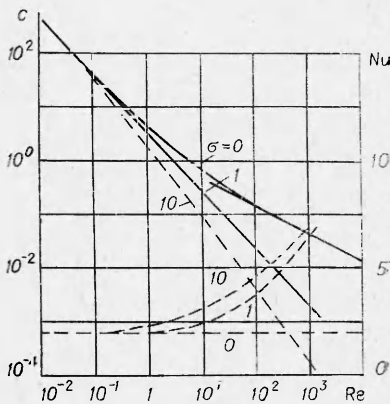
$$z = \int_w^{w_0} \frac{dw}{\sqrt{F(w)}}.$$

Следовательно, $w(z)$ можно записать в виде эллиптической функции. Проще, однако, эту задачу решить численно для разных w_0 . Результаты таких расчетов для $\text{Re} < 0$ показаны на фиг. 1, а для $\text{Re} > 0$ — на фиг. 2.

В случае малых чисел Рейнольдса задача может быть решена для любых значений σ .



Ф и г. 1



Ф и г. 2

Решение системы (1.4), (1.5) строится в виде разложения

$$u = u_1 \operatorname{Re} + u_2 \operatorname{Re}^2 + \dots; \theta = 1 + \theta_1 \operatorname{Re} + \theta_2 \operatorname{Re}^2 + \dots$$

Для старших коэффициентов разложения получается система уравнений

$$u_1'' = -\chi a^2; \theta_1'' = 0; \theta_2'' = \sigma u_1,$$

для которой ставятся граничные условия

$$u_1'(0) = u_1(1) = \theta_1'(0) = \theta_1(1) = \theta_2'(0) = \theta_2(1) = 0.$$

Решение имеет вид

$$u_1 = (\chi a^2/2)(1 - y^2); \theta_1 = 0; \theta_2 = (\sigma \chi a^2/24)(6y^2 - y^4 - 5).$$

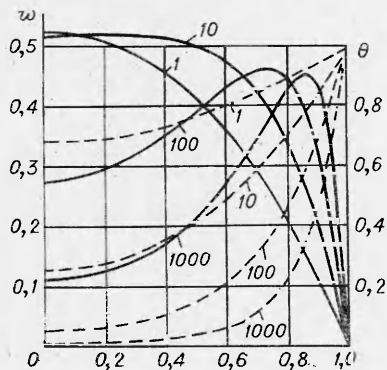
Следовательно,

$$\theta = 1 + (\sigma \chi a^2/24)\operatorname{Re}^2 (6y^2 - y^4 - 5); \theta_0 = 1 - (5/24)\sigma \chi a^2 \operatorname{Re}^2.$$

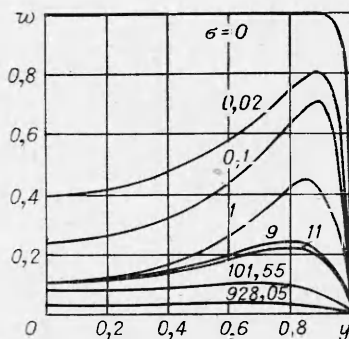
Подстановка этих результатов в (1.14) дает

$$(2.8) \quad \operatorname{Nu} = 1,6.$$

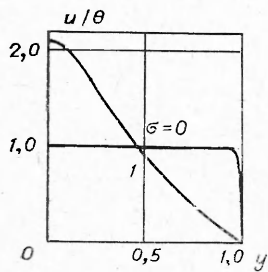
Можно показать, что и при $\sigma \rightarrow 0$ имеет место предельное соотношение (2.8).



Ф и г. 3



Ф и г. 4



Фиг. 5

Результаты численного решения задачи в виде зависимостей $c(Re)$ и $Nu(Re)$ представлены на фиг. 2 штрихом для трех значений параметра $\sigma = 0; 1; 10$. Наиболее характерным свойством профилей скорости при $\sigma > 0$ является немонотонность распределения скоростей по сечению канала при больших числах Рейнольдса (фиг. 3, где для случая $\sigma = 1$ сплошными линиями показаны зависимости $w(y)$ при разных числах Re , а штриховыми — распределения температур $\theta(Re)$). Числам Рейнольдса $Re = 1; 10; 100; 1000$ соответствуют значения $a = 2,05; 0,861; 0,361$ и 0,148. Семейство профилей $w(y)$ при $Re = 1000$ и различных числах Прандтля ($0 < \sigma < 1000$) представлено на фиг. 4. Профили массовой скорости $\rho v_x \sim u/\theta$ являются монотонными (фиг. 5, где приведено сравнение профилей u/θ для $\sigma = 0$ и $\sigma = 1$ при $Re = 1000$).

Таким образом, неравномерность распределения плотности по сечению канала приводит к снижению объемной и увеличению массовой скорости в приосевой зоне.

Автор благодарит А. Ф. Селезневу за проведение расчетов и В. Н. Штерна за обсуждение работы.

Поступила 30 V 1975

ЛИТЕРАТУРА

- Петухов Б. С. Теплообмен и сопротивление при ламинарном течении жидкости в трубах. М., «Энергия», 1967.

УДК 532.517

К ОПРЕДЕЛЕНИЮ РАДИУСА ВОЗДУШНОГО ВИХРЯ ПРИ ЛАМИНАРНОМ ТЕЧЕНИИ ЖИДКОСТИ В ЦЕНТРОБЕЖНОЙ ФОРСУНКЕ

Ю. З. Нехамкин, Б. Д. Стрелков, Ю. И. Хавкин

(Ленинград)

В существующих теориях центробежной форсунки, например [1], для определения радиуса воздушного вихря r_0 используется условие максимального расхода или другие экстремальные принципы. В данной работе радиус воздушного вихря определен из уравнений движения вязкой несжимаемой жидкости.

Схема форсунки приведена на фиг. 1. Явления, происходящие в пограничных слоях вблизи торцов, не рассматриваются. Область течения разбивается на две зоны.

Все величины в данной работе безразмерные, масштаб длин — радиус выходного сопла r_1 , масштаб скоростей — скорость во входных каналах V .